

ИЗВЕСТИЯ
ТОМСКОГО ОРДЕНА ТРУДОВОГО КРАСНОГО ЗНАМЕНИ ПОЛИТЕХНИЧЕСКОГО
ИНСТИТУТА имени С. М. КИРОВА

Том 165

1969

**РАСЧЛЕНЕНИЕ ВУЛКАНОГЕННЫХ ОБРАЗОВАНИЙ
ТЕЛЬБЕССКОЙ СЕРИИ НА ПЛОЩАДИ ТАЛАНОВСКОГО
ГРАБЕНА (СЕВЕРО-ЗАПАДНЫЙ СКЛОН КУЗНЕЦКОГО АЛАТАУ)**

В. Г. КРЮКОВ и В. З. МУСТАФИН

(Представлена профессором А. М. Кузьминым)

Вопросам расчленения девонских отложений и изучению их стратиграфии в пределах Кузнецкого Алатау уделяется серьезное внимание. На территории Талановского грабена нами проводилось геологическое картирование нерасчлененных эфузивов тельбесской серии нижнего-среднего девона D_1 — $2tl$. При этом получен материал по петрографии, стратиграфии и тектонике толщи, позволяющий выделить в ней следующие основные группы пород (снизу вверх): 1) эфузивы основного состава, 2) эфузивы среднего состава, 3) эфузивы щелочного состава, 4) эфузивы группы фельдшпатидов, 5) эфузивы основного состава, 6) эфузивы основного — среднего состава.

1. Эфузивы основного состава

Толща эфузивов основного состава слагает основание тельбесской серии. На площади грабена она является преобладающей, прослеживающейся на всем протяжении вдоль восточной границы. Отмечается северо-северо-восточное простижение толщи и моноклинальное восточное падение под углом 30—60°. В ней насчитывается около шести потоков (рис. 1), отделенных друг от друга шлаковой коркой либо силловым аналогом этих пород. Среди основных эфузивов преобладают скрыто-кристаллические мелко-крупнопорфировые и афировые порфиры с миндалинами и без них. Широким распространением пользуются лабрадор-пироксеновые, лабрадор-пироксеновые с оливином, лабрадоровые порфиры и афириты, а также их лавы, кластоловы и туфы. Помимо текстурно-структурных, перечисленные разновидности пород имеют некоторые различия и в минералогическом составе.

Лабрадор-пироксеновые порфиры и афириты образуют потоки, составляющие значительную часть толщи эфузивов основного состава. Для лабрадор-пироксеновых порфириров и афиритов характерны: темно-серый до черного с лиловатым оттенком цвет, плотная либо миндалекаменно-пористая текстура, афанитовая или тонкораскристаллизованная структура основной массы. В большинстве случаев им свойственна мелкопорфировая структура, причем количество фенокристов колеблется от единичных зерен до 30—40%.

В составе порфировых выделений преобладает плагиоклаз, наряду с которым присутствует пироксен. В потоках верхней части разреза

описываемой толщи в фенокристах лабрадор-пироксеновых порфириотов иногда фиксируются единичные зерна оливина. Плагиоклаз вкрапленников обладает таблитчатым обликом. Угол симметричного погасания его $32-38^\circ$, показатель преломления по $Ng \approx 1,570$; $2V_{Np} = 100^\circ$; $PcNg = 33^\circ$; $PcNm = 62^\circ$; $PcNr = 70,3^\circ$; $BcNg = 30^\circ$; $BcNm = 30^\circ$; $BcNr = 62^\circ$, что отвечает лабрадору № 60—65. Пироксены порфировых выделений представлены в основном моноклинной разновидностью, по составу отвечающей преимущественно авгиту. Последний характеризуется светло-буроватой окраской в проходящем свете, углом с $\wedge Ng$ около $43-48^\circ$, $2V_{Ng} \approx 54^\circ-68^\circ$ и двупреломлением, равным 0,022. В редких случаях устанавливается диопсид, отличающийся положительным знаком оптических осей, двупреломлением около 0,032, углом с $\wedge Ng$, равным $42-48^\circ$ и $2V_{Ng} = 56-60^\circ$. Оливин почти полностью опацитизирован — замещен серпентином, хлоритом и магнетитом. Как правило, имеет высокий рельеф, специфический состав продуктов замещения и хорошо развитые грани (021) и (010).

Основная масса породы интерсертальной либо гиалопилитовой структуры состоит главным образом из плагиоклаза, составляющего от 30—40% до 60—80%. Показатели преломления его по $Ng \approx 1,567$ и по $Np \approx 1,560$, что соответствует лабрадору № 52—56. Темноцветы представлены авгитом, для которого характерны грани (100), (110) и (001). По основным свойствам он аналогичен авгиту фенокристов. Рудный минерал, количественно составляющий 7—12% основной массы, при наблюдении в отраженном свете оказывается магнетитом, реже — магнетитом и пирротином. Продукты раскристаллизации стекла и реликты его отмечаются почти повсеместно в количестве 3—6%, резко возрастаая до 20—30% в лавах.

Лабрадоровые порфириты фиксируются в форме потоков в средней- и верхней частях толщи основных эфузивов. Помимо этого, отмечаются и близмеридиональные их дайки.

Описываемые породы специфичны среди эфузивов обилием порфировых вкрапленников плагиоклаза, количество которых изменяется от 3—5% до 15—20%, а их размеры соответственно от 1×5 мм до 3×25 мм. Нередко 3—6 фенокристов плагиоклаза образуют звездчатые глюмеропорфировые сростки. Представлены они лабрадором, которому свойственны: угол симметричного угасания около $32-34^\circ$, $2V_{Np} = 104^\circ$; $BcNg = 77^\circ$; $BcNr = 46^\circ$; $BcNm = 46^\circ$; альбитовый и карлсбадский законы двойникования. По этим свойствам плагиоклаз отвечает лабрадору № 50—60.

Степень раскристаллизации основной массы лабрадоровых порфириотов различна, и поэтому продукты расстеклования ее либо полностью отсутствуют (интерсертальная структура), либо количество их достигает 30—40% (гиалопилитовая структура). Состав основной массы сравнительно выдержан: лабрадор № 50—55 около 50—70%, моноклинный пироксен в количестве 5—20%, магнетит около 10—20%, продукты расстеклования (альбит, кальцит, халцедон), единичные зерна апатита.

Лавы и кластоловы основных пород имеют химический состав, аналогичный составу вышеописанных пород, отличаясь от последних лишь текстурно-структурными особенностями. Переходы от порфириотов и афиритов к лавам, которые представляют, видимо, кровлю крупных потоков, постепенны.

Туфы эфузивов основного состава пользуются сравнительно широким распространением, окаймляя покровы основных эфузивов с востока полосой переменной, 10—400 м, ширины. Среди них отмечаются пепловые, пелитовые и псаммитовые разности, переслаивающие друг с другом и обладающие сходным составом. Туфогенные образования

ПЕРЕВОЗИНСКАЯ
ТАШТЫП, УСТЬ ТАШТЫП

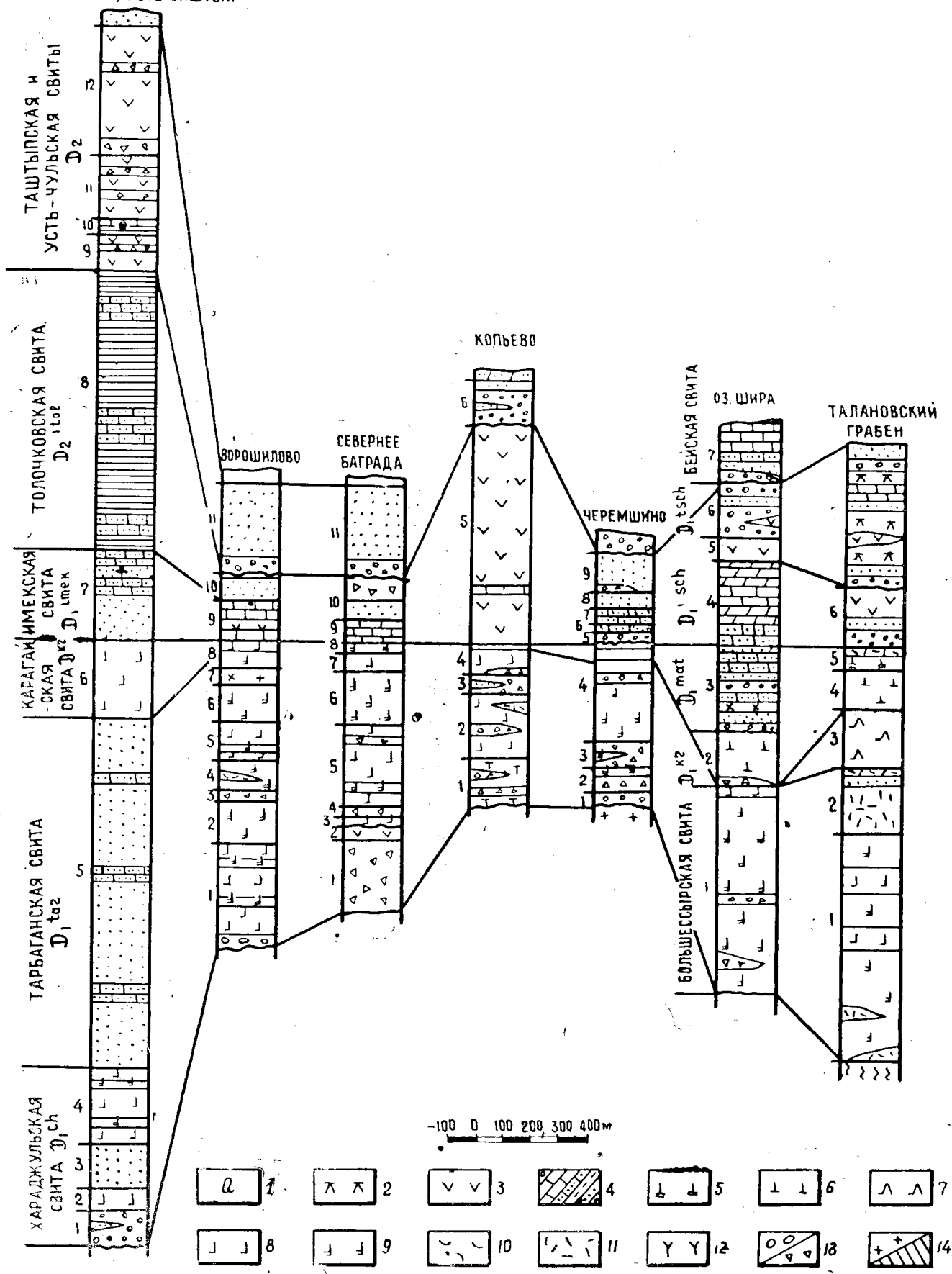


Рис. 1. Схема сопоставления стратиграфических колонок девонских вулканогенных образований Кузнецкого Алатау.
 1. Современные отложения. Девонские образования. 2. Адезитовые порфиры. 3. Пироксен-оливиновые порфиры. 4. Песчаники, известняки, алевролиты, конгломераты. 5. Трахитовидные фонолиты. 6. Трахитовые порфиры. 7. Плагиоклаз-роговообманковые порфиры. 8. Лабрадоровые порфиры. 9. Лабрадор-пироксеновые порфиры и афириты. 10. Лавы. 11. Пелитовые, псаммитовые, псефитовые туфы. 12. Нерасчлененные эфузивы основного состава. 13. Вулканические конгломераты и брекчии. 14. Породы фундамента

характеризуются красно-буровой до бурой с вишневым оттенком окраской, обусловленной примесью пелитового материала, составляющего от 40—50% до 70—80%. Наблюдаются обломки лапиллиевой формы размером 1—10 мм, представленные лабрадор-пироксеновыми, лабрадоровыми порфиритами и афиритами.

2. Эффузивы среднего состава

Эффузивы среднего состава, по-видимому, являются субвулканической фацией основных эффузивов (лабрадор-пироксеновых и лабрадоровых порфиритов). Это подтверждается близким химическим составом (табл. 1) средних и основных эффузивов, лучшей раскристаллизацией основной массы, широким развитием гидроксилсодержащих минералов, рвущими контактами их с вмещающими лабрадоровыми порфиритами. Породы среднего состава образуют крупное дайкообразное тело, прослеживающееся вдоль западной границы грабена и в центральной его части. Преобладают в толще эффузивов среднего состава плагиоклаз-рогообманковые порфириты, среди которых отмечаются линзовидные тела туфоконгломератов.

Таблица 1

Среднее содержание окислов по данным химических анализов пород Талановского грабена

Породы Окислы	Лабрадор-пи- роксеновые, лабрадоровые порфириты, афириты и их лавы (9 анали- золов)	Плагиоклаз-ро- говообманко- вые порфириты (3 анализа)	Трахитовые порфириты и их лавы, ортопириты, ще- лочные сиени- ты (27 анали- золов)	Трахитоид- ные фоноли- титы (6 ана- лизов)	Пироксен оли- виновые и ан- дезитовые порфириты (9 анализов)
	1	2	3	4	5
SiO_2	44,88	49,74	57,83	59,49	47,44
TiO_2	1,49	1,07	0,46	0,37	1,31
Al_2O_3	16,23	14,26	19,28	18,85	18,49
Fe_2O_3	5,04	4,56	3,82	3,78	5,56
FeO	5,49	4,71	4,40	2,92	4,80
MnO	0,20	0,16	0,12	0,13	0,19
MgO	5,18	4,56	0,74	0,07	3,64
CaO	7,24	5,61	1,63	1,04	6,29
Na_2O	3,78	4,25	4,88	5,69	3,65
K_2O	1,32	1,24	4,93	4,66	2,39
P_2O_5	0,34	0,21	0,15	0,12	0,40
H_2O	1,19	0,55	0,51	0,31	0,66
S	0,01	0,01	0,02	следы	0,01
П.П.П.	4,62	5,72	2,89	1,86	4,20

Плагиоклаз-рогообманковые порфириты обладают темно-серой окраской с зеленоватыми и лиловатыми пятнами. Количество порфировых вкрапленников сравнительно выдержано и испытывает колебания в пределах 30—35%. Преобладает среди них плагиоклаз, на долю которого приходится 50—80% их количества. Остальная часть фенокристов представлена роговой обманкой.

По углу симметричного погасания ($2V_{Np} \approx 104^\circ$), углу $2V$, Np (001), II (010) и развитию карлсбадских двойников состав плагиоклаза определяется как андезин-лабрадоровый, № 45—55.

Роговая обманка проявляется в виде длиннопризматических кристаллов. Погасание ее относительно удлинения зерен равно $14—16^\circ$. Плеохроизм от бурого до светло-бурого или от сине-зеленого до светлого зеленовато-желтого. Схема абсорбции: $Ng > Nm > Np$; угол $2V_{Np} \approx 80^\circ$.

Основная масса породы обычно хорошо раскристаллизована (интерсертальная структура). В ней около 50—60%, реже 70% составляет андезин № 40 (показатели преломления по $Ng \approx 1,560$ и по $Np \approx 1,552$). Кроме того, отмечаются роговая обманка в количестве 20—40%, маннит 5—10% и изредка пирротин.

Туфоконгломераты характеризуются крупноглыбовой текстурой, серым цветом. Размер обломков колеблется в широких, от 0,1—1 до 30—50 см, пределах. Количество их составляет 70—80%. Основная часть обломков — плагиоклаз-роговообманковые порфиры. Цементируются они более мелким кластическим материалом.

3. Эффузивы щелочного состава

Эффузивы щелочного состава развиваются в средних частях разреза тельбесской серии. Пользуются они сравнительно небольшим распространением, образуя линзообразные тела длиной 700—1200 м, реже 2500—3000 м при ширине 100—400 м, ориентированные в северо-северо-восточном направлении.

Литологически среди рассматриваемых пород выделяются трахитовые порфиры, их лавы и кластолавы, образующие экструзивные тела, а также ортофирты, щелочные сиениты и ксенокластолавы, представляющие жерловую фацию. Последними прорываются лабрадор-пироксеновые и лабрадоровые порфиры. Кроме того, трахитовыми порфирами перекрываются породы основного состава первой толщи.

Трахитовые порфиры преобладают среди перечисленных щелочных разностей. Характеризуются они светло-коричневатой, светло-розовой, буроватой окраской. Количество порфировых вкрапленников в них непостоянно: от 3—5% до 20—25%, а их размеры изменяются от 2—3 мм до 10—15 мм в длину. Около 40—50% фенокристов составляет ортоклаз, которому свойственны манбахские двойники и угол $2V_{Ng} = 60^\circ$; микропертит 5—10%. Кроме того, отмечаются до 40% зерна альбит-олигоклаза № 8—15: $BcNg = 80^\circ$, $BcNp = 83^\circ$, $BcNm = 15^\circ$; $PcNg = 13^\circ$; $PcNp = 88^\circ$; $PcNm = 77^\circ$. В центральных частях более мощных куполообразных тел, в трахитовых порфирах, устанавливается моноклиниый пироксен в количестве 3—5%. Для него характерны: угол $c \wedge Ng = 42—46^\circ$, слабый плеохроизм от зеленовато-желтого по Ng до светлого с фиолетовым оттенком по Nm ; показатели преломления $Ng \approx 1,720$ и $Np = 1,700$. Это позволяет относить его к титансодержащему авгиту с 40% (Ca, Mg) и 60% (Ca, Fe). [4].

Основная масса трахитовой структуры представлена главным образом, 70—90%, полевым шпатом с примерно равными количествами ортоклаза ($Ng \approx 1,525$) и альбита ($Ng \approx 1,535$ и $Nm \approx 1,527$). Кроме них, в количестве 1—3% фиксируется пирит и около 3—10% — слабополяризующий минерал, отвечающий по составу альбиту, возникшему, видимо, при расстекловании.

Лавы и кластолавы трахитовых порфиров слагают кровлю экструзивных тел. Эти породы обладают флюидальными, пузыристыми, неяснообломочными текстурами. Размер обломков — первые сантиметры.

ры. Состав и структурные особенности их и цементирующей массы одинаковы. Между кластоловами и трахитовыми порфирами наблюдаются постепенные переходы.

Ортофирмы петрографически и по химическому составу близки к трахитовым порфирам, представляя собою субвулканическую, либо переходную к ней фацию. Контакты этих типов пород постепенны и характеризуются разностями переходного облика в полосе шириной 15—30 м. От излившихся аналогов (трахитовые породы) ортофирмы отличаются лучшей раскристаллизацией, преобладанием в фенокристах микроперитита, незначительным количеством в них альбита и амфибола, ортофировой структурой основной массы.

Для амфибола характерна короткопризматическая форма зерен, спайность под углом 62—65°, плеохроизм от бесцветного по Ng до светло-розового по Nm, схема абсорбции $Nm > Ng > Nr$, угол $c \wedge Ng \approx 50^\circ$, двупреломление около 0,014. Все отмеченные признаки позволяют относить описываемый минерал к щелочным амфиболам катафоритового ряда.

Щелочные сиениты являются фациальной разновидностью ортофиров. Им свойственны структуры от мелко- до крупно- и даже гигантозернистых. Последние появляются по мере увеличения глубин (в 100—300 м от дневной поверхности). Блоковым строением грабена и различной эродированностью блоков обусловливается появление щелочных сиенитов на поверхности в южной и северной его оконечностях, в форме широких, 150—250 м, дайкообразных тел. От вышеописанных щелочных пород сиениты отличаются полнокристаллической структурой, практически полным отсутствием темноцветов, сравнительно широким развитием калишпатов — микроклина и микроклинперитита, а также сравнительно редкими зернами нефелина.

Ксенокластолавы развиваются на контактах ортофиров и эфузивов основного состава. Количество обломков, представленных лабрадор-пироксеновыми, лабрадоровыми порфиритами и их лавами, достигает 10—30%. Цементирующая масса имеет трахитоидный облик, щелочной характер, близкий к ортофирам.

4. Эффузивы группы фельдшпатидов

В состав этой группы эффузивных пород входят лишь трахитоидные фонолиты. Форма проявления их — силлы и дайки. Последними секутся покровы трахитовых порфиров, изредка они отмечаются вне полей развития щелочных пород, где прорываются лабрадор-пироксеновые порфириты.

Трахитоидные фонолиты характеризуются светло-коричневатой, коричневато-сиреневой, лиловатой окраской. Структура их порфировая. Количество фенокристов переменно: как по простианию, так и по падению тел оно колеблется в пределах от 7—10% до 20—25% при средних (5—7 мм) размерах.

В составе порфировых выделений существенную роль, от 30—40 до 80%, играют толстотаблитчатые изометрические кристаллы нефелина. Форма их квадратная или субквадратная с гранями (1010). Нефелин нацело замещается канкритином, тогда как другие компоненты породы остаются свежими. Лишь изредка отмечаются незамещенные зерна нефелина. Остальная часть фенокристов приходится на долю калишпата. В составе последнего преобладает синидин, характеризующийся свежим обликом зерен, наличием простых карлсбадских двойников, углом $2V_{Nb} = 40^\circ$, II (010), B (100); $\text{Ng}_{\text{C}} = 0^\circ$, $\text{Nr}_{\text{C}} = 90^\circ$; $\text{Ng}_{\text{Bc}} = 88^\circ$, $\text{Nr}_{\text{Bc}} = 20^\circ$, что соответствует 65% Ort и 35% AB [4]. Кроме того, в фенокристах встречаются ортоклаз и микроперитит.

Трахитоидная основная масса фонолитов представлена в основном калишпатом ($Ng \approx 1,525$) и альбитом ($Ng \approx 1,535$ и $Nm \approx 1,527$) с незначительной, до 1—3%, примесью пирита.

В отдельных блоках грабена (северный и южный) устанавливается несогласное налегание на щелочные и основные породы эфузивно-осадочной толщи. В основании разреза последней фиксируется пачка конгломератов переменной, 10—30 м, мощности. Обломочный материал, составляющий 60—80% их, представлен лабрадоровыми, лабрадор-пироксеновыми порфиритами, трахитовыми порфирами и их лавами. Вверх по разрезу конгломераты сменяются пестроцветной толщей мощностью не менее 80—120 м. Для нее характерны прослои, представляющие собой покровные, либо силловые тела пироксен-оливиновых порфиритов. Низы толщи сложены грубозернистыми вишневыми, буровато-красноватыми полимиктовыми песчаниками с примесью туфового материала. Выше они сменяются мелкозернистыми буроватыми полимиктовыми песчаниками с прослоями, 10—20 м, серовато-зеленоватых алевролитов с растительными остатками плохой сохранности. В верхах разреза толщи появляются прослои буровато-зеленоватых аргиллитов. Характеризуемая толща венчается сравнительно маломощным, около 20 м, горизонтом темно-серых глинистых известняков.

Разрез девонских образований завершается второй осадочно-вулканогенной толщой небольшой, 30—60 м, мощности (рис. 1). В основании ее отмечается пласт конгломератов, в гальке которого, кроме эфузивных пород, устанавливаются единичные обломки осадочных образований. В этой толще, как и в предыдущей, фиксируются горизонты лав пироксен-оливиновых и андезитовых порфиритов. Сложена она в основном буровато-серыми полимиктовыми песчаниками с прослоями светло-серовато-зеленоватых алевролитов, буроватых аргиллитов и темно-серых с буроватым оттенком глинистых известняков.

В последних двух толщах довольно специфичными являются пироксен-оливиновые, андезитовые порфириты и их лавы и кластолавы.

Пироксен-оливиновые порфириты по химическому составу и текстурным особенностям близки к лабрадор-пироксеновым порфиритам. Более высокое стратиграфическое положение их, приуроченность к восточной границе грабена, многофациальность (дайки, силлы, покровы, жерла) проявления и несколько иной минералогический состав позволяют однозначно решать вопрос об их положении в разрезе.

В порфировых выделениях этих пород присутствуют наряду с широко развитым авгитом с $2V_{Ng} = 64^\circ$ и $\wedge Ng$ около $42—48^\circ$ зерна оливина. Последний отличается от оливина лабрадор-пироксеновых порфиритов широкой распространенностю и сравнительной свежестью. Для него установлены с $\parallel Nm$ и угол $2V_{Nm} \approx 72^\circ$. Меньшим развитием пользуется диопсид.

Основная масса имеет долеритовую (в силлах), микродолеритовую (в дайках, прорывающих комплекс пород от щелочных эфузивов до осадочных толщ), либо гиалопилитовую структуру (в покровных образованиях).

В составе ее преобладает, 50—80%, лабрадор № 50—60. В меньшем, 20—40%, количестве устанавливается моноклинный пироксен. Незначительна, 5—10%, примесь магнетита и редкого апатита.

Андезитовые порфириты, судя по составу, могут быть включены в группу основных — средних пород. Минералогический состав их близок к составу пироксен-оливиновых порфиритов. Отличие от последних заключается в меньшей основности плагиоклаза, отвечающего андезин-лабрадору № 45—55, и в текстурных особенностях. В покровах андезитовых порфиритов выделяются горизонты крупновкрапленнико-

вых темно-бурых порфириитов, имеющих облик лабрадоровых порфириитов из нижней толщи. Наличие постепенного перехода их к андезитовым мелковкрапленниковым порфириитам, а затем к пироксен-оливиновым порфириитам не дает возможности сомневаться в их более молодом возрасте.

Лавы и кластоловы представляют кровлю крупных потоков пироксен-оливиновых и андезитовых порфириитов. Для них характерны бурая окраска, пористая, неяснообломочная, слабофлюидальная текстуры.

Проведенными исследованиями в разрезе вулканогенных образований устанавливается несколько перерывов. Самый значительный из них, регионального масштаба, установлен на границе формирования трахитоидных фонолитов с осадочной толщой, включающей горизонты пироксен-оливиновых и андезитовых порфириитов. Это позволяет разделить процесс вулканической деятельности на описываемой площади на два мегацикла. Перерывы меньшего порядка соответствуют периоду времени между становлением эфузивов среднего состава и щелочного, а также между интервалами образования двух осадочных толщ.

Согласно А. Г. Сивову [9] основным критерием при выделении свит является перерыв в последовательности формирования толщ, отвечающий ритму геотектонического процесса более низкого порядка, чем мегацикл. В соответствии с этим на площади Талановского грабена можно выделить три свиты. В состав первой из них входят основные и средние эфузивы. Вторая свита по объему отвечает щелочным эфузивам, включая трахитоидные фонолиты. В третью свиту выделяется вулканогенно-осадочная толща.

Отсутствие растительных остатков хорошей сохранности не позволяет точно датировать время образования отдельных свит. Однако большинство исследователей [3, 5, 6, 7, 9] считает возможным коррелировать разрезы «немых» девонских отложений различных участков восточного склона Кузнецкого Алатау, получая при этом вполне хорошие результаты. В основу подобной корреляции положен тот факт, что проявление вулканизма в пределах одной структуры, несмотря на местные вариации, характеризуется определенным общим уклоном развития магмы — для северо-восточных склонов Кузнецкого Алатау — в щелочную сторону [3, 7], а также наличием крупных этапов геотектонического процесса [2].

Тем не менее и при таком принципе корреляции сопоставление разрезов девонских вулканогенных толщ отдельных районов встречает серьезные затруднения: в работах некоторых исследователей нет не только данных по химическому составу, но и по петрографической характеристике выделяемых типов пород. Отсутствие маркирующих фаунистически, либо фитостратиграфически обоснованных горизонтов делает корреляцию эфузивов при таких условиях невозможной [8]. Поэтому нами проводится сопоставление Талановского разреза со сравнительно достоверно расчлененными разрезами соседних районов [5, 7]. Колебание состава их требует привлечения нескольких стратиграфических колонок существенно эфузивного характера и сравнения их с типичным эфузивно-осадочным разрезом.

Эфузивные типы разрезов (Талановский, оз. Шира и др., рис. 1) отчетливо сопоставляются с существенно осадочными толщами девона, развитыми в районе сел Таштып, Усть-Таштып и Перевозинская. При этом необходимо указать, что некоторая путаница при сопоставлении разрезов возникает в силу различного применения терминологии эфузивных пород, определяемых то по петрографо-генетическим признакам, то по их химическому составу [7, 8]. Так, диабазы, диабазовые порфири-

ты и базальты хараджульской формации [7] по химическому и минералогическому составу, а также форме проявления (покровы, потоки), близкие к эфузивам большесырской формации [5, 10], по-видимому, следует определять как лабрадор-пироксеновые и андезитовые порфиры. С ними необходимо сопоставлять первую (нижнюю) свиту эфузивов грабена. Средняя свита сопоставима с карагайской свитой [5], верхняя параллелизуется с шунетской и чарковской свитами [5], или с имекской и толочковской свитами [7].

Таким образом, время формирования девонских вулканогенных пород Талановского грабена находится в пределах от жединского — кобленецкого ярусов до живетского, причем граница между нижним и средним девоном, проводимая с учетом смены этапов геотектонического процесса, устанавливается четко.

ЛИТЕРАТУРА

1. А. Р. Ананьев. О возрасте изыкской и шунетской свит по ископаемой флоре на северном склоне Батеневского кряжа. Тр. ТГУ, т. 146, 1960.
2. А. Р. Ананьев. О перерывах в отложениях континентального девона в Саяно-Алтайской горной области по палеонтологическим данным. В кн. Доклады палеоботанической конференции. Изд-во ТГУ, Томск, 1962.
3. И. К. Баженов. Эфузивный и жильный комплекс щелочных пород восточного склона Кузнецкого Алатау. В сб. Мат-лы по геологии Западной Сибири. Вып. 64, Госгеолтехиздат, 1963.
4. А. Н. Винчелл, Г. Винчелл. Оптическая минералогия (перев. с англ.). ИЛ, 1953.
5. Г. А. Иванкин. К стратиграфии девона западной окраины Минусинской котловины (девон окрестностей оз. Иткуль). Труды ТГУ, т. 146, 1960.
6. А. М. Кузьмин. Материалы к стратиграфии и тектонике Кузнецкого Алатау, Салаира и Кузнецкого бассейна. Изв. СО Геолкома, т. 7, вып. 2, 1928.
7. И. В. Лучицкий. Вулканизм и тектоника девонских впадин Минусинского межгорного прогиба. СО АН СССР, ИГиГ, М., 1960.
8. В. С. Мелещенко. О некоторых вопросах стратиграфии девонских отложений Минусинской котловины. Сб. Палеонтология и стратиграфия, Госгеолтехиздат, 1953.
9. А. Г. Сивов. Элементы стратиграфии и тектоники девонских отложений Минусинской котловины. Тр. ТГУ, т. 132, 1954.
10. А. Г. Сивов. О чиланской свите девона Южно-Минусинской котловины. В сб. Мат-лы по геологии и полезным ископаемым Западной Сибири, Изд-во ТГУ, Томск, 1964.